

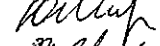
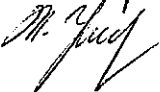
**Расчёт несущей способности одиночной забивной сваи по данным статического зондирования (п.3.10, п.5.11 СНиП 2.02.03-85)**

Коэффициент надёжности  $\gamma_k = 1,25$

Точка зондирования 4

Абс. отм., м	Сечение сваи Глубина, м	Квадрат, сторона 0,35 м			Круг, диаметр 0,35 м		
		СНК, тс	СБП, тс	ОС, тс	СНК, тс	СБП, тс	ОС, тс
4,0	1,0	2,1	1,1	3,2	1,7	0,9	2,6
3,0	2,0	1,2	4,0	5,2	1,0	3,2	4,2
2,0	3,0	8,7	5,1	13,8	6,9	4,0	10,9
1,0	4,0	43,1	5,3	48,4	33,8	4,1	37,9
0,0	5,0	57,2	9,1	66,3	45,0	7,1	52,1
-1,0	6,0	60,7	15,0	75,7	47,7	11,8	59,5
-2,0	7,0	59,9	20,4	80,3	47,0	16,0	63,0
-3,0	8,0	50,9	24,4	75,3	40,0	19,1	59,1
-4,0	9,0	50,3	30,2	80,5	39,5	23,7	63,2
-5,0	10,0	50,8	35,1	85,9	39,9	27,6	67,5
-6,0	11,0	50,7	39,4	90,1	39,8	30,9	70,7
-7,0	12,0	54,3	43,6	97,9	42,6	34,3	76,9
-8,0	13,0	57,5	47,5	105,0	45,2	37,3	82,5
-9,0	14,0	54,1	53,3	107,4	42,5	41,9	84,4
-10,0	15,0	34,0	60,3	94,3	26,7	47,4	74,1
-11,0	16,0	21,9	69,2	91,1	17,2	54,3	71,5
-12,0	17,0	29,5	73,2	102,7	23,1	57,5	80,6
-13,0	18,0	37,0	79,1	116,1	29,0	62,1	91,1
-14,0	19,0	45,2	88,0	133,2	35,5	69,1	104,6

Примечания: СНК - сопротивление под нижним концом забивной сваи  
 СБП - сопротивление по боковой поверхности забивной сваи  
 ОС - общее сопротивление

Составил:  Мирошина Ю.Р.  
 Проверил:  Кочегарова И.В.

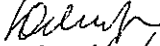
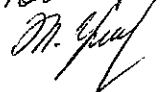
**Расчёт несущей способности одиночной забивной сваи по данным статического зондирования (п.3.10, п.5.11 СНиП 2.02.03-85)**

Коэффициент надёжности  $\gamma_k = 1,25$

Точка зондирования 4

Абс. отм., м	Сечение сваи Глубина, м	Квадрат, сторона 0,4 м			Круг, диаметр 0,4 м		
		СНК, тс	СБП, тс	ОС, тс	СНК, тс	СБП, тс	ОС, тс
4,0	1,0	2,5	1,3	3,8	2,0	1,0	3,0
3,0	2,0	1,5	4,6	6,1	1,2	3,6	4,8
2,0	3,0	19,3	5,8	25,1	15,2	4,6	19,8
1,0	4,0	57,4	6,0	63,4	45,1	4,7	49,8
0,0	5,0	75,0	10,4	85,4	58,9	8,1	67,0
-1,0	6,0	79,5	17,1	96,6	62,4	13,5	75,9
-2,0	7,0	77,2	23,3	100,5	60,6	18,3	78,9
-3,0	8,0	66,6	27,8	94,4	52,3	21,9	74,2
-4,0	9,0	65,8	34,5	100,3	51,7	27,1	78,8
-5,0	10,0	66,2	40,1	106,3	52,0	31,5	83,5
-6,0	11,0	66,5	45,0	111,5	52,2	35,3	87,5
-7,0	12,0	70,0	49,9	119,9	55,0	39,2	94,2
-8,0	13,0	76,0	54,3	130,3	59,7	42,6	102,3
-9,0	14,0	67,4	61,0	128,4	52,9	47,9	100,8
-10,0	15,0	44,9	68,9	113,8	35,2	54,1	89,3
-11,0	16,0	29,6	79,0	108,6	23,2	62,1	85,3
-12,0	17,0	39,2	83,6	122,8	30,8	65,7	96,5
-13,0	18,0	51,5	90,3	141,8	40,5	71,0	111,5
-14,0	19,0	58,5	100,6	159,1	46,0	79,0	125,0

Примечания: СНК - сопротивление под нижним концом забивной сваи  
 СБП - сопротивление по боковой поверхности забивной сваи  
 ОС - общее сопротивление

Составил:  Мирошина Ю.Р.  
 Проверил:  Кочегарова И.В.

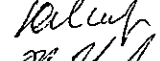
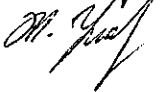
**Расчёт несущей способности одиночной забивной сваи  
по данным статического зондирования (п.3.10, п.5.11 СНиП 2.02.03-85)**

Коэффициент надёжности  $\gamma_k = 1,25$

Точка зондирования 5

Абс. отм., м	Сечение сваи Глубина, м	Квадрат, сторона 0,3 м			Круг, диаметр 0,3 м		
		СНК, тс	СБП, тс	ОС, тс	СНК, тс	СБП, тс	ОС, тс
2,2	1,0	6,5	0	6,5	5,1	0	5,1
1,2	2,0	13,2	1,4	14,6	10,4	1,1	11,5
0,2	3,0	22,0	3,1	25,1	17,3	2,4	19,7
-0,8	4,0	37,6	5,6	43,2	29,5	4,4	33,9
-1,8	5,0	44,5	10,2	54,7	34,9	8,0	42,9
-2,8	6,0	43,8	15,3	59,1	34,4	12,1	46,5

Примечания: СНК - сопротивление под нижним концом забивной сваи  
СБП - сопротивление по боковой поверхности забивной сваи  
ОС - общее сопротивление

Составил:  Мирошина Ю.Р.  
Проверил:  Кочегарова И.В.

**Расчёт несущей способности одиночной забивной сваи по данным статического зондирования (п.3.10, п.5.11 СНиП 2.02.03-85)**

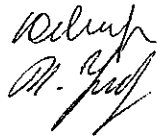
Коэффициент надёжности  $\gamma_k = 1,25$

Точка зондирования 5

Абс. отм., м	Сечение сваи Глубина, м	Квадрат, сторона 0,35 м			Круг, диаметр 0,35 м		
		СНК, тс	СБП, тс	ОС, тс	СНК, тс	СБП, тс	ОС, тс
2,2	1,0	11,9	0	11,9	9,4	0	9,4
1,2	2,0	17,1	1,6	18,7	13,5	1,3	14,8
0,2	3,0	35,1	3,6	38,7	27,6	2,8	30,4
-0,8	4,0	51,4	6,5	57,9	40,4	5,1	45,5
-1,8	5,0	60,4	11,9	72,3	47,4	9,3	56,7
-2,8	6,0	59,2	17,9	77,1	46,5	14,1	60,6

Примечания: СНК - сопротивление под нижним концом забивной сваи  
 СБП - сопротивление по боковой поверхности забивной сваи  
 ОС - общее сопротивление

Составил:



Мирошина Ю.Р.

Проверил:



Кочегарова И.В.

**Расчёт несущей способности одиночной забивной сваи по данным статического зондирования (п.3.10, п.5.11 СНиП 2.02.03-85 )**

Коэффициент надёжности  $\gamma_k = 1,25$

Точка зондирования 5

Абс. отм., м	Сечение сваи Глубина, м	Квадрат, сторона 0,40 м			Круг, диаметр 0,40 м		
		СНК, тс	СБП, тс	ОС, тс	СНК, тс	СБП, тс	ОС, тс
2,2	1,0	17,2	0	17,2	13,5	0	13,5
1,2	2,0	23,4	1,8	25,2	18,4	1,4	19,8
0,2	3,0	50,7	4,1	54,8	39,8	3,2	43,0
-0,8	4,0	68,3	7,4	75,7	53,7	5,8	59,5
-1,8	5,0	78,7	13,6	92,3	61,8	10,7	72,5
-2,8	6,0	78,1	20,5	98,6	61,3	16,1	77,4

Примечания: СНК - сопротивление под нижним концом забивной сваи  
 СБП - сопротивление по боковой поверхности забивной сваи  
 ОС - общее сопротивление

Составил:  Мирошина Ю.Р.  
 Проверил:  Кочегарова И.В.



**Расчёт несущей способности одиночной забивной сваи по данным статического зондирования (п.3.10, п.5.11 СНиП 2.02.03-85)**

Коэффициент надёжности  $\gamma_k = 1,25$

Точка зондирования 6

Абс. отм., м	Сечение сваи	Квадрат, сторона 0,3 м			Круг, диаметр 0,3 м		
	Глубина, м	СНК, тс	СБП, тс	ОС, тс	СНК, тс	СБП, тс	ОС, тс
2,5	1,0	0	0	0	0	0	0
1,5	2,0	0,7	0	0,7	0,6	0	0,6
0,5	3,0	17,4	0	17,4	13,7	0	13,7
-0,5	4,0	35,4	2,0	37,4	27,8	1,6	29,4
-1,5	5,0	40,6	5,7	46,3	31,9	4,5	36,4

Примечания: СНК - сопротивление под нижним концом забивной сваи  
 СБП - сопротивление по боковой поверхности забивной сваи  
 ОС - общее сопротивление

Составил:  Мирошина Ю.Р.  
 Проверил:  Кочегарова И.В.

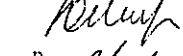

**Расчёт несущей способности одиночной забивной сваи  
по данным статического зондирования (п.3.10, п.5.11 СНиП 2.02.03-85)**

Коэффициент надёжности  $\gamma_k = 1,25$

Точка зондирования 6

Абс. отм., м	Сечение сваи Глубина, м	Квадрат, сторона 0,35 м			Круг, диаметр 0,35 м		
		СНК, тс	СБП, тс	ОС, тс	СНК, тс	СБП, тс	ОС, тс
2,5	1,0	0	0	0	0	0	0
1,5	2,0	2,1	0	2,1	1,7	0	1,7
0,5	3,0	28,2	0	28,2	22,1	0	22,1
-0,5	4,0	49,1	2,3	51,4	38,5	1,8	40,3
-1,5	5,0	55,1	6,7	61,8	43,3	5,3	48,6

Примечания: СНК - сопротивление под нижним концом забивной сваи  
СБП - сопротивление по боковой поверхности забивной сваи  
ОС - общее сопротивление

Составил:  Мирошина Ю.П.  
Проверил:  Кочегарова И.В.

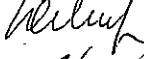
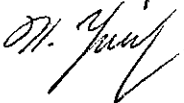
**Расчёт несущей способности одиночной забивной сваи по данным статического зондирования (п.3.10, п.5.11 СНиП 2.02.03-85)**

Коэффициент надёжности  $\gamma_k = 1,25$

Точка зондирования 6

Абс. отм., м	Сечение сваи	Квадрат, сторона 0,4 м			Круг, диаметр 0,4 м		
	Глубина, м	СНК, тс	СБП, тс	ОС, тс	СНК, тс	СБП, тс	ОС, тс
2,5	1,0	0	0	0	0	0	0
1,5	2,0	6,2	0	6,2	4,9	0	4,9
0,5	3,0	41,8	0	41,8	32,8	0	32,8
-0,5	4,0	64,7	2,6	67,3	50,8	2,1	52,9
-1,5	5,0	71,9	7,7	79,6	56,5	6,0	62,5

Примечания: СНК - сопротивление под нижним концом забивной сваи  
 СБП - сопротивление по боковой поверхности забивной сваи  
 ОС - общее сопротивление

Составил:  Мирошина Ю.Р.  
 Проверил:  Кочегарова И.В.



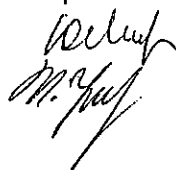
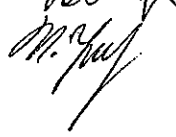
**Расчёт несущей способности одиночной забивной сваи  
по данным статического зондирования (п.3.10, п.5.11 СНиП 2.02.03-85)**

Коэффициент надёжности  $\gamma_k = 1,25$

Точка зондирования 7

Абс. отм., м	Сечение сваи Глубина, м	Квадрат, сторона 0,3 м			Круг, диаметр 0,3 м		
		СНК, тс	СБП, тс	ОС, тс	СНК, тс	СБП, тс	ОС, тс
4,0	1,0	0,8	0,7	1,5	0,7	0,6	1,3
3,0	2,0	0,8	1,4	2,2	0,6	1,1	1,7
2,0	3,0	4,5	1,9	6,4	3,5	1,5	5,0
1,0	4,0	28,8	2,2	31,0	22,6	1,7	24,3
0,0	5,0	34,2	6,1	40,3	26,9	4,8	31,7
-1,0	6,0	42,1	9,1	51,2	33,1	7,2	40,3
-2,0	7,0	41,8	13,7	55,5	32,9	10,8	43,7
-3,0	8,0	43,3	17,9	61,2	34,0	14,0	48,0
-4,0	9,0	42,7	20,7	63,4	33,6	16,2	49,8
-5,0	10,0	43,4	25,1	68,5	34,1	19,7	53,8
-6,0	11,0	43,4	31,0	74,4	34,1	24,3	58,4
-7,0	12,0	40,9	37,0	77,9	32,1	29,1	61,2
-8,0	13,0	37,6	42,1	79,7	29,5	33,1	62,6
-9,0	14,0	36,1	47,8	83,9	28,4	37,5	65,9
-10,0	15,0	29,3	52,5	81,8	23,0	41,2	64,2
-11,0	16,0	18,2	57,2	75,4	14,3	44,9	59,2
-12,0	17,0	21,2	61,9	83,1	16,7	48,6	65,3
-13,0	18,0	32,2	66,2	98,4	25,3	52,0	77,3
-14,0	19,0	31,7	74,0	105,7	24,9	58,1	83,0
-15,0	20,0	24,9	82,3	107,2	19,5	64,6	84,1
-16,0	21,0	23,2	88,9	112,1	18,3	69,8	88,1
-17,0	22,0	19,4	94,5	113,9	15,2	74,2	89,4
-18,0	23,0	15,8	98,8	114,6	12,4	77,6	90,0
-19,0	24,0	13,8	102,3	116,1	10,9	80,3	91,2
-20,0	25,0	12,4	105,0	117,4	9,7	82,5	92,2
-21,0	26,0	10,4	107,5	117,9	8,2	84,4	92,6
-22,0	27,0	13,8	109,7	123,5	10,8	86,1	96,9
-23,0	28,0	14,1	112,6	126,7	11,1	88,4	99,5

Примечания: СНК - сопротивление под нижним концом забивной сваи  
СБП - сопротивление по боковой поверхности забивной сваи  
ОС - общее сопротивление

Составил:  Мирошина Ю.Р.  
Проверил:  Кочегарова И.В.

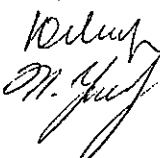
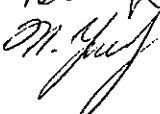
**Расчёт несущей способности одиночной забивной сваи  
по данным статического зондирования (п.3.10, п.5.11 СНиП 2.02.03-85)**

Коэффициент надёжности  $\gamma_k = 1,25$

Точка зондирования 7

Абс. отм., м	Сечение сваи Глубина, м	Квадрат, сторона 0,35 м			Круг, диаметр 0,35 м		
		СНК, тс	СБП, тс	ОС, тс	СНК, тс	СБП, тс	ОС, тс
4,0	1,0	1,1	0,8	1,9	0,9	0,7	1,6
3,0	2,0	1,1	1,7	2,8	0,8	1,3	2,1
2,0	3,0	9,1	2,3	11,4	7,1	1,8	8,9
1,0	4,0	36,4	2,6	39,0	28,6	2,0	30,6
0,0	5,0	48,6	7,1	55,7	38,1	5,5	43,6
-1,0	6,0	56,9	10,6	67,5	44,7	8,3	53,0
-2,0	7,0	57,5	16,0	73,5	45,2	12,6	57,8
-3,0	8,0	59,0	20,9	79,9	46,4	16,4	62,8
-4,0	9,0	58,2	24,1	82,3	45,7	19,0	64,7
-5,0	10,0	58,9	29,3	88,2	46,3	23,0	69,3
-6,0	11,0	58,9	36,2	95,1	46,3	28,4	74,7
-7,0	12,0	54,7	43,2	97,9	43,0	33,9	76,9
-8,0	13,0	51,2	49,2	100,4	40,2	38,6	78,8
-9,0	14,0	47,7	55,7	103,4	37,5	43,8	81,3
-10,0	15,0	39,4	61,2	100,6	31,0	48,1	79,1
-11,0	16,0	24,4	66,7	91,1	19,2	52,4	71,6
-12,0	17,0	29,4	72,3	101,7	23,1	56,7	79,8
-13,0	18,0	43,5	77,2	120,7	34,2	60,6	94,8
-14,0	19,0	42,7	86,3	129,0	33,6	67,8	101,4
-15,0	20,0	33,9	96,0	129,9	26,6	75,4	102,0
-16,0	21,0	31,0	103,7	134,7	24,3	81,4	105,7
-17,0	22,0	26,1	110,3	136,4	20,5	86,6	107,1
-18,0	23,0	21,0	115,3	136,3	16,5	90,5	107,0
-19,0	24,0	18,1	119,3	137,4	14,2	93,7	107,9
-20,0	25,0	16,5	122,5	139,0	12,9	96,2	109,1
-21,0	26,0	14,5	125,4	139,9	11,4	98,5	109,9
-22,0	27,0	18,6	128,0	146,6	14,6	100,5	115,1
-23,0	28,0	19,6	131,3	150,9	15,4	103,1	118,5

Примечания: СНК - сопротивление под нижним концом забивной сваи  
СБП - сопротивление по боковой поверхности забивной сваи  
ОС - общее сопротивление

Составил:  Мирошина Ю.Р.  
Проверил:  Кочегарова И.В.